

Figura 6.23 Variación de la deformación volumétrica y relación de agua en las diferentes etapas de equilibrio de los ensayos edométricos en la trayectoria de humedecimiento y secado.

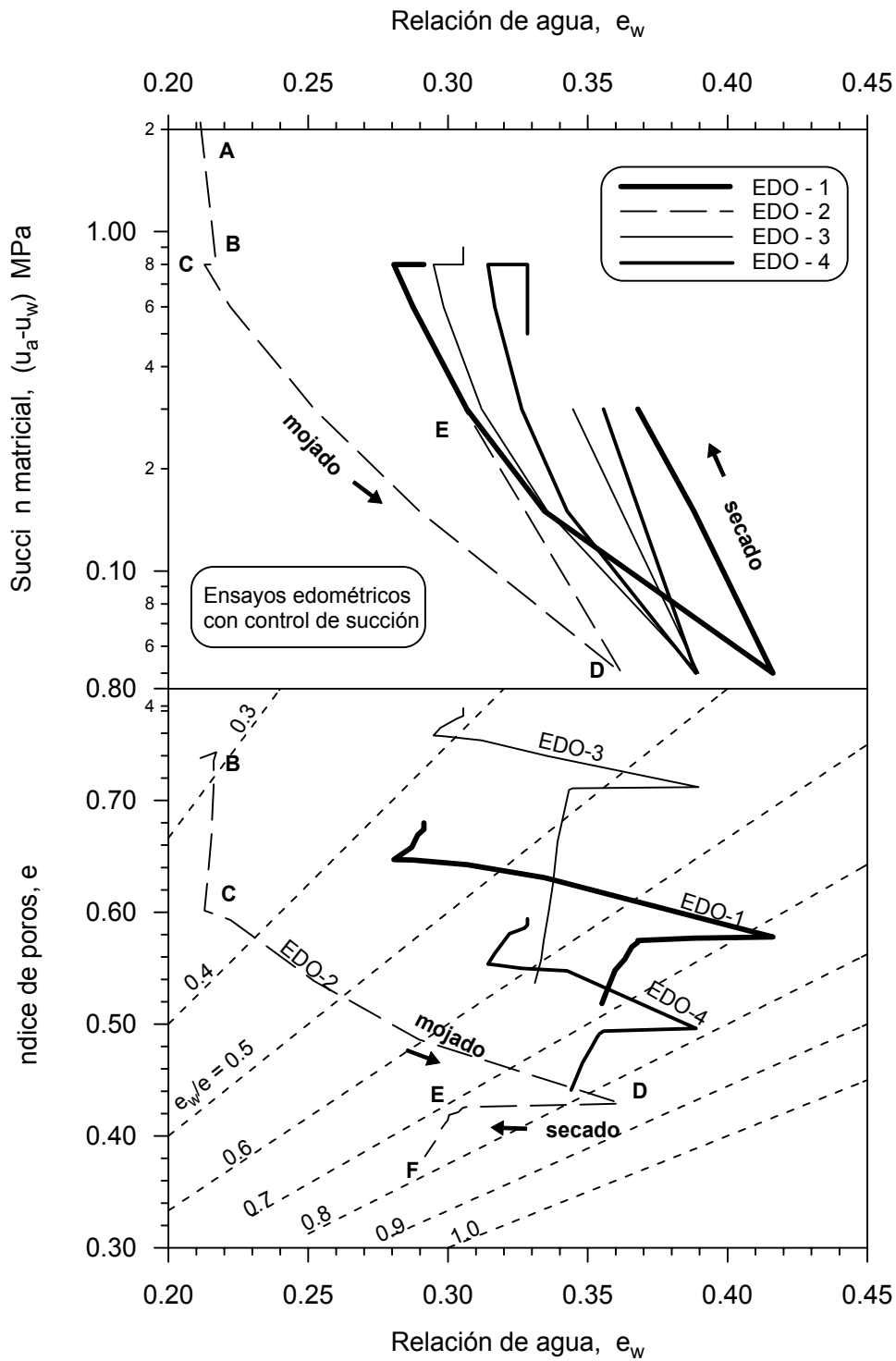


Figura 6.24 Variación de la succión matricial e índice de poros con respecto a la relación de agua de los ensayos edométricos (trayectoria tensional de A hasta E).

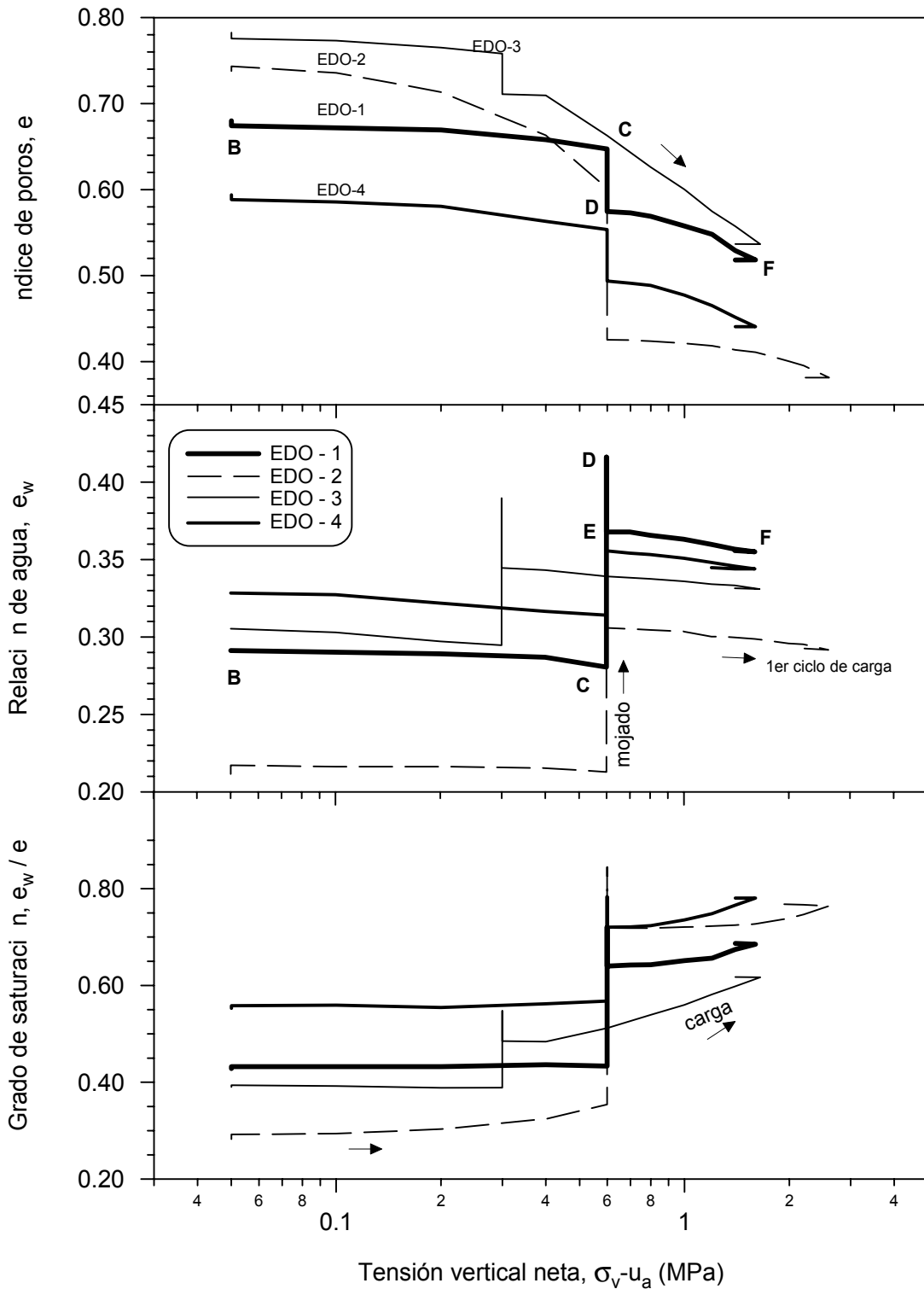


Figura 6.25 Variación del índice de poros, relación de agua y grado de saturación con respecto a la tensión vertical neta de los ensayos edométricos (trayectoria A \rightarrow F).

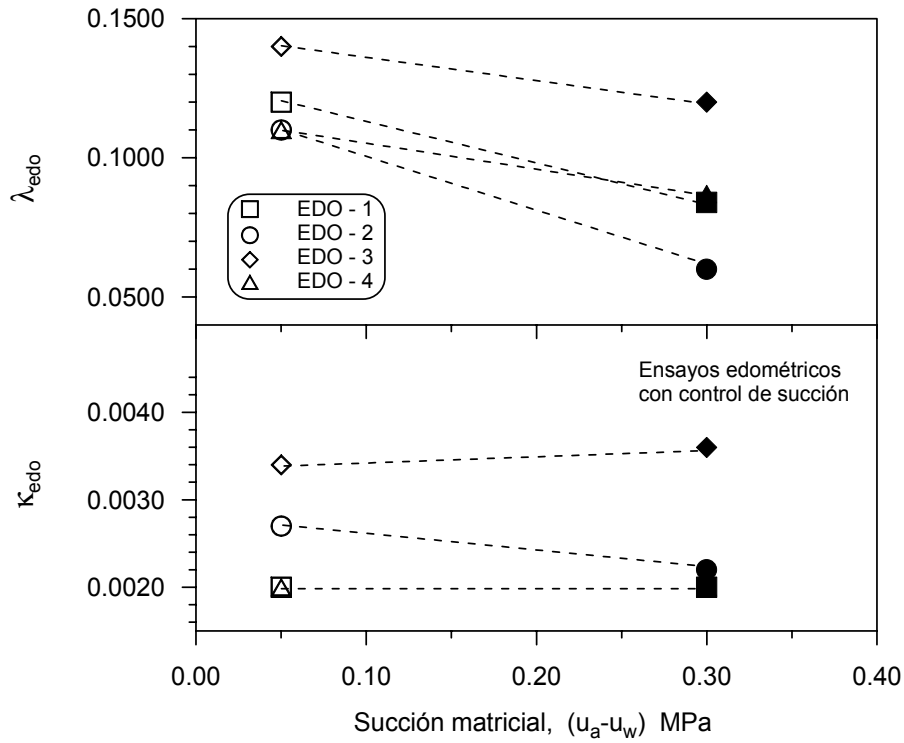


Figura 6.26 Valores de λ_{edo} y κ_{edo} a diferente succión matricial. Ensayos edométricos en trayectorias de carga y descarga.

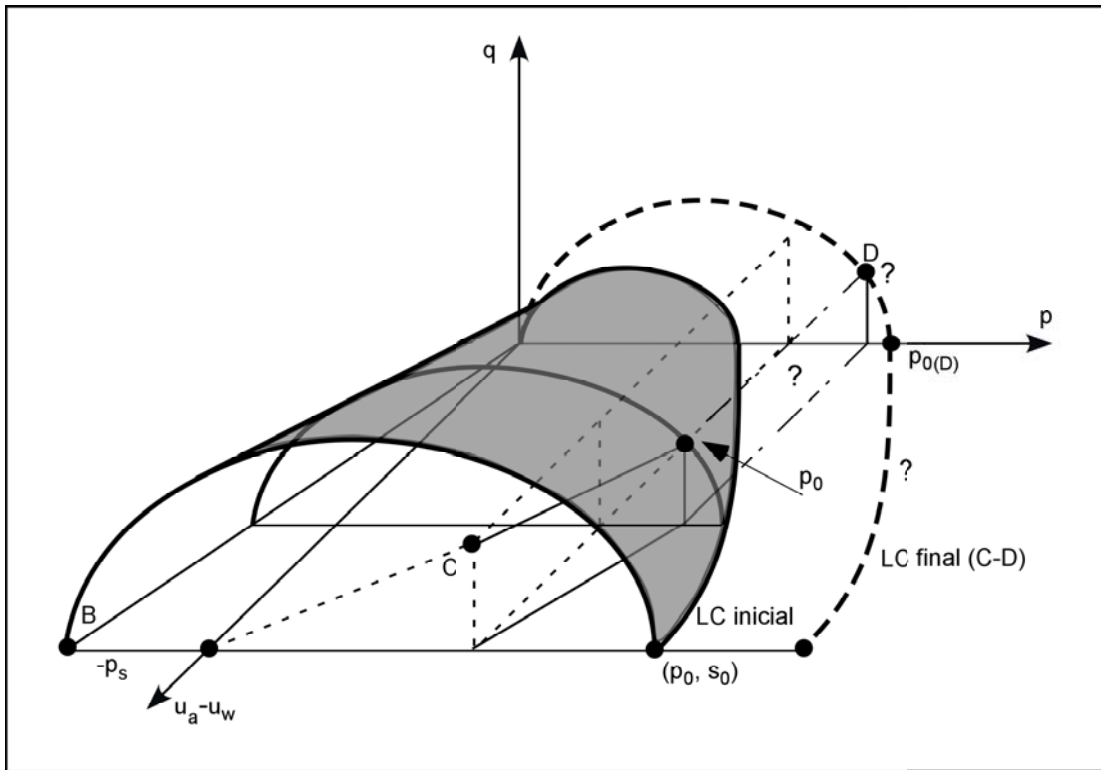


Figura 6.27 Vista tridimensional de la superficie de fluencia en el espacio de tensiones (p, q, s) . Representación esquemática del movimiento de la superficie de fluencia para los ensayos edométricos en las trayectorias tensionales $(B \rightarrow C)$ y $(C \rightarrow D)$.